

声波正演模拟方法

这一节主要介绍如何利用 SMART 工具包进行波动方程的正演模拟。以二阶波动方程为例,从无边界并且模拟结果频散比较严重的简单程序,一步一步改进至模拟效果较好的程序。在这个过程中对相应的函数、参量做详细的说明,同时对伪谱法以及 GPU、CUDA 加速做相应的说明。

1. 二阶方程

1.1 有限差分

首先从最简单的声波方程入手,介绍波动方程的数值求解。常密度二维波动方程如下所示:

$$\frac{1}{v^2} \frac{\partial^2 p}{\partial t^2} = \frac{\partial^2 p}{\partial x^2} + \frac{\partial^2 p}{\partial z^2} + \delta(\mathbf{p} - \mathbf{p}_0) f. \quad (1)$$

所谓波动方程的求解就是利用边界值条件、初始条件和震源,从当前(或联合过去)时刻求取下一时刻的值,用公式表述为

$$p^{n+1} = \text{fun}(p^n, p^{n-1}, \dots). \quad (2)$$

显然,波动方程求解的关键是构造出递推格式。递推格式是通过时间导数的有限差分格式实现的。对二阶导数进行二阶差分近似,有

$$\frac{\partial^2 p}{\partial t^2} \approx \frac{p^{n+1} - 2p^n + p^{n-1}}{\Delta t^2} \quad (3)$$

那么

$$p^{n+1} \approx 2p^n - p^{n-1} + \Delta t^2 \left(\frac{\partial^2 p}{\partial t^2} \right) \quad (4)$$

如此以来,有

$$p^{n+1} = 2p^n - p^{n-1} + \Delta t^2 v^2 \left(\frac{\partial^2 p}{\partial x^2} + \frac{\partial^2 p}{\partial z^2} \right) + \delta(\mathbf{p} - \mathbf{p}_0) f \quad (5)$$

上面的格式是最常用的时间差分格式。当然,时间微分也可以利用高阶差分近似,具体可参阅董良国(2000)的论文《一阶弹性波方程交错网格高阶差分分解法》。将空间导数也进行二阶差分近似,有

$$p^{n+1} = 2p^n - p^{n-1} + \Delta t^2 v^2 \left(\frac{p_{i-1,j} - 2p_{ij} + p_{i+1,j}}{\Delta x^2} + \frac{p_{i,j-1} - 2p_{ij} + p_{i,j+1}}{\Delta z^2} \right) + \delta(\mathbf{p} - \mathbf{p}_0) f \quad (6)$$

在程序开始之前,先对一些参数、变量和函数做一些简单的说明。

- 1、模型导入。本例子中速度场是简单的均匀介质，我们直接构造一个速度场 vp 。

`vp=vp0*fones(Nz,Nx);` %ones 函数的浮点型版本。在支持 GPU 的机器上，可以使用

`vp=vp0*gones(Nz,Nx);` %申请 GPU 数组，或者利用

`vp=gpuArray(vp);` %将 CPU 数据导入进 GPU

- 2、波场变量。本例中涉及三个场变量 $p^{n+1}, 2p^n, p^{n-1}$, 利用 `fzeros` 申请内存

`P2=fzeros(Nz,Nx);` %zeros 函数的浮点型版本。在支持 GPU 的机器上，可以使用

`P2=gzeros(Nz,Nx);` %申请 GPU 数组，或者利用

`P2=gpuArray(P2);` %将 CPU 数据导入进 GPU，另外两个 $P1, P0$ 变量可同样方式申请

- 3、网格参数设置。网格大小 Nz, Nx 由模型决定，本例直接给定。空间采样间隔 dx, dz 由模型决定，本例直接给出

- 4、子波序列。子波序列可由外部导入，也可直接构造。笔者一般使用 **Ricker** 子波作为震源。

`wlet=gfricker(Nt, dt, fm, lag)` %Ricker 子波函数， Nt 是模拟时长，实为迭代次数，总时长为

$T=Nt*dt$ 。 dt 是采样间隔，采样间隔由有限差分稳定性决定 $V_{max}*dt/dh < R$ 。 R 与差分格

式、阶数等相关，一般是小于 1 的数。笔者大多数采用 $dt=0.001, dh=10m$ 的设置， V_{max}

一般在大于 7000m/s，会发生溢出。 fm 是 **Ricker** 子波峰值频率， lag 指的子波峰值出现

的位置相对于 0 点的延迟（点数）。 lag 一般设置为 40 即可出现整个波形， $lag=0$ 则表示

半个子波。

- 5、子波的位置函数。由于脉冲函数的频谱为全频带，高频成分会引起频散。笔者一般采用

`loc=gfloc(Nz,Nx,sz,sx)` %设置一高斯函数震源位置

- 6、空间差分。空间差分是 **MATLAB** 进行微分方程求解的关键。在利用 **MATLAB** 进行差分

计算时，尽量避免逐点计算，**SMART** 中的差分是采用褶积算子 `conv` 实现的。比如

`conv2(p1,[1, -2, 1])`便可以实现二阶导数的二阶差分近似。

- 7、边界条件。边界条件多种多样，以笔者的经验而言，吸收衰减边界条件就已经满足要求。

笔者一般采用最简单的吸收边界和分裂 **PML** 边界。采用

`[qx,qz]=gfpm1(Nz,Nx,Nlayer,par)` %产生中间为 0，边界处逐渐增大的矩阵

- 8、注：以上涉及到的函数均有各种不同的版本（有时为了方便，有时为了效率）。详细的参

数列表见 **SMART** 帮助文档。

下面程序 1-1 是公式(6)的 **MATLAB** 实现。图 1-1 是子波频率 30Hz 和 50Hz 时的结果。

由于该程度未做任何压制频散的优化设计，所以频散非常严重（惨不忍睹！）。下面逐步的改

善频散问题。频散是有限差分的一个固有缺点。频散可以用一个波长 λ 内的采样点 G 数表征，在一个波场内采样点数越多频散越弱，模拟精度越高，并且由 $\lambda = v / f$ 可知，提高波速，降低频率可以压制频散。那么在模型速度和子波频率确定的情况天下如何压制频散呢？

程序 1.1: MAc2FDCPU1

```
%*****%
% Name      : An example of 2-order acoustic wave equation FD modeling
% Author    : C.F. Guo
% Date      : 2017-1-19
% Version   : 1.0
%*****%
Nx=300; Nz=300; Nt=400;           %模型大小,模拟时间
dt=0.001; dx=10; dz=10;          %时间和空间采样间隔
P1=fzeros(Nx,Nz); P2=P1; P0=P1;   %申请三个场变量, fzeros 浮点型内存分配
vp=3000*fones(Nx,Nz);             %模型
loc=fzeros(Nx,Nz); loc(Nx/2,Nz/2)=1; %震源位置
fm=30; lag=40; wlet=gfricker(Nt, fm, dt, lag); %fm 子波频谱, lag 延迟, wlet 子波序列
cn=dt.*dt.*vp.*vp;
mx=[1,-2,1]/dx/dx; mz=[1,-2,1]/dx/dx; %差分系数
for it=1:Nt                        %时间迭代
    %X 方向空间差分    %Z 方向空间差分
    P2=2*P1-P0+ cn.*(conv2(P1,mx,'same')+conv2(P1,mz,'same'))+loc*wlet(it);
    P0=P1;              %迭代
    P1=P2;              %迭代
end
gfplot(p1);            %数据显示
```

频散压制主要有以下几种方法：

1. 减小网格间距。减小网格间距可以增加一个波长内的采样点数，采样点数增大，频散会明显减弱。但是网格点数增加计算量也会增加，由稳定性条件限制，空间采样间隔减小，时间采样间隔也相应减小。
2. 子波的位置函数的改善。脉冲函数的频谱是全频带的。其中的高频成分则会引起频散。为了压制频散，可以将脉冲函数的超出地震频带范围的高频成分衰减掉。SAMRT 中采用是高斯衰减函数。由于高斯函数在频率（波数）域和时间（空间）域具有形同的形式。因此 SMART 中的震源位置函数至直接利用一个高斯函数代替。图 1-2（a）所示是改善后的模拟结果，相比图 1-1（b），频散得到明显压制。

程序 1.2: MAc2FDCPU2

```
% *****%
% Name      : An example of 2-order acoustic wave equation FD modeling. Modified from
%            MAc2FDCPU1
% Author    : C.F. Guo
% Date      : 2017-1-19
% Version   : 2.0
% *****%
.....                               % 其余省略
% loc=fzeros(Nx,Nz); loc(Nx/2,Nz/2)=1
loc=gfloc(Nz,Nx,sz,sx)               % 震源位置,sz 和 sx 为震源中心位置
.....                               % 其余省略
```

3. 采用高阶差分格式。图 1-2 (b) 是采用八阶有限差分格式的模拟结果, 从图中几乎看不到频散发生。高阶差分格式是最常用的压制频散的方法。高阶差分格式的知识参见相关文献。

程序 1.3: MAc2FDCPU3

```
% *****%
% Name      : An example of 2-order acoustic wave equation FD modeling. Modified from
%            MAc2FDCPU2
% Author    : C.F. Guo
% Date      : 2017-1-19
% Version   : 3.0
% *****%
.....                               % 其余省略
% P2=2*P1-P0+cn.*(conv2(P1,mx,'same')+conv2(P1,mz,'same'))+loc*wlet(it);
P2=2*P1-P0+cn.*(gfLx2(P1,dx)+gfLz2(P1,dz))+loc*wlet(it); % gfLx2 和 gfLz2 采用的是
                                                           % 8 阶差分格式
.....                               % 其余省略
```

4. 采用通量传输校正的方法, 具体参见 Fei Tong (1995, Elimination of numerical dispersion in finite-difference modeling and migration by flux-corrected transport).
5. 优化差分系数方法, 具体参见 Liu Yang (2012, Globally optimal finite-difference schemes based on least squares)。SMART 里的差分算子大部分是采用优化的差分系数, 压制频散。

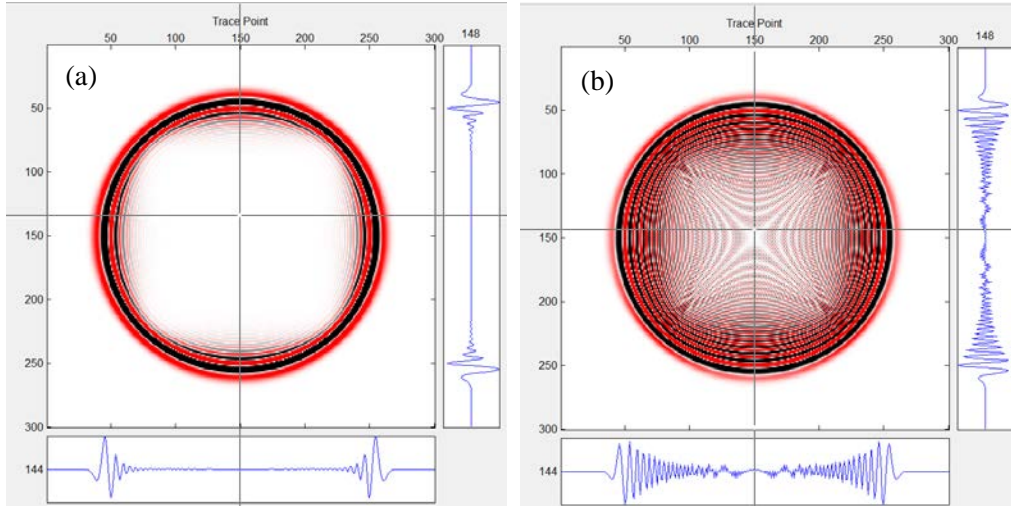


图 1-1. 二阶声波方程二阶有限差分模拟结果, 子波主频: (a) 30Hz, (b) 50Hz

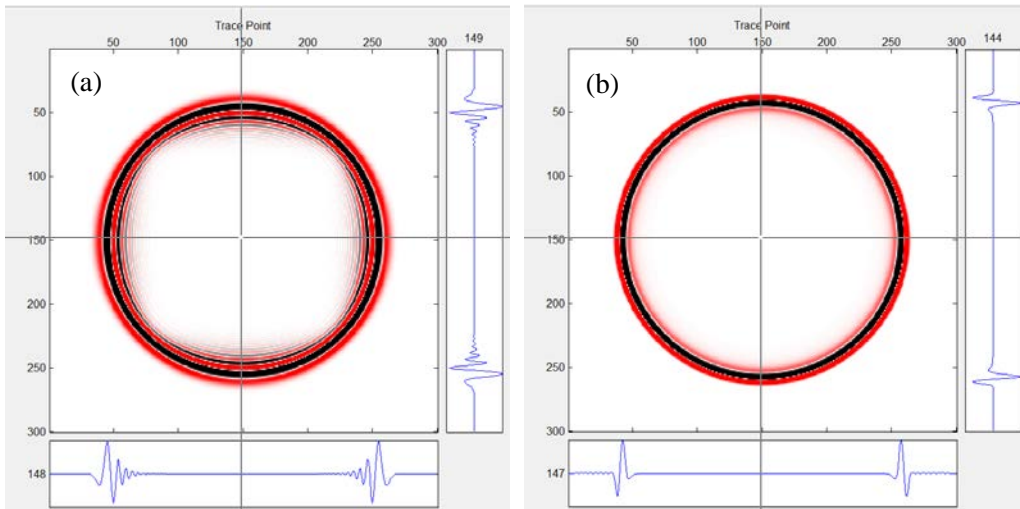


图 1-2. 二阶声波方程有限差分模拟结果, 子波频率为 50Hz: (a) 改善的震源位置函数 (二阶差分格式); (b) 八阶差分格式

前面介绍的是没有边界条件时的正演模拟方法, 接下来对二阶方程的边界条件做简单介绍。边界条件多种多样。笔者个人认为最简单的吸收边界条件已经可以满足绝大部分需求。边界条件可由衰减介质推导出。典型的衰减方程为

$$\frac{1}{v^2} \frac{\partial^2 p}{\partial t^2} + \frac{\eta}{v^2} \frac{\partial p}{\partial t} = \frac{\partial^2 p}{\partial x^2} + \frac{\partial^2 p}{\partial z^2} \quad (7)$$

公式(7)的离散格式为:

$$\frac{p^{n+1} - 2p^n + p^{n-1}}{\Delta t^2} + \eta \frac{p^{n+1} - p^{n-1}}{2\Delta t} = v^2 \left(\frac{\partial^2 p}{\partial x^2} + \frac{\partial^2 p}{\partial z^2} \right) \quad (8)$$

那么有:

$$p^{n+1} = \frac{1}{1 + \eta\Delta t/2} \left(2p^n - (1 - \eta\Delta t/2) p^{n-1} + v^2 \left(Lx2(p^n) + Lz2(p^n) \right) \right) \quad (9)$$

下面是公式(9)的 MATLAB 实现。

程序 1.4: MAc2FDCPU4

```
% *****%
% Name      : An example of 2-order acoustic wave equation FD modeling. Modified from
%            MAc2FDCPU3
% Author     : C.F. Guo
% Date       : 2017-1-19
% Version    : 4.0
% *****%
Nx=300; Nz=300; Nt=600;           %模型大小,模拟时间
dt=0.001; dx=10; dz=10;          %时间和空间采样间隔
P1=fzeros(Nx,Nz); P2=P1; P0=P1;   %申请三个场变量, fzeros 浮点型内存分配
vp=3000*fones(Nx,Nz);             %模型
loc=gfloc(Nz,Nx,sz,sx);           %震源位置
fm=30; lag=40; wlet=gfricker(Nt,fm,dt, lag); %fm 子波频谱, lag 延迟, wlet 子波序列
cn=dt.*dt.*vp.*vp;
[qz,qx]=gfpm1(Nz,Nx,20,0.1);      %构造边界条件
Q=qx+qz;                          %Q 即为公式(9)的 zeta. Q 为一个中间为 0,
pl=1./(1+Q*dt/2);                 %在边界逐渐增大的一个矩阵
pm=(1-Q*dt/2);
for it=1:Nt                        %时间迭代
    P2=pl.*(2*P1-pm.*P0+cn.*(gfLx2(P1,dx)+gfLz2(P1,dz)))+loc*wlet(it);
    P0=P1;                        %迭代
    P1=P2;                        %迭代
end
gfplot(p1);                       %数据显示
```

很不幸的是,吸收效果并不理性,如图 1-3 (a) 和图 1-4 (a) (蓝色线) 所示,边界反射还是很明显的。出现这种情况的原因是所谓的衰减方程是基于二维假设推导到的,二维是其简单的拓展。类比 PML 边界条件的处理方法 (关于 PML 边界的文献非常多),可以将方程(7)分裂成两个方向上的量 $p = p_x + p_z$, 分别对应微分方程:

$$\begin{cases} \frac{1}{v^2} \frac{\partial^2 p_x}{\partial t^2} + \frac{\eta}{v^2} \frac{\partial p_x}{\partial t} = \frac{\partial^2 p_x}{\partial x^2} \\ \frac{1}{v^2} \frac{\partial^2 p_z}{\partial t^2} + \frac{\eta}{v^2} \frac{\partial p_z}{\partial t} = \frac{\partial^2 p_z}{\partial z^2} \end{cases} \quad (10)$$

下面是方程(10)的 MATLAB 实现。

程序 1.5: MAc2FDCPU5

```
% *****%
% Name      : An example of 2-order acoustic wave equation FD modeling. Modified from
%            MAc2FDCPU4
% Author     : C.F. Guo
% Date       : 2017-1-19
% Version    : 5.0
% *****%
Nx=300; Nz=300; Nt=600;           %模型大小,模拟时间
dt=0.001; dx=10; dz=10;           %时间和空间采样间隔
P1=fzeros(Nx,Nz);                 %分配分裂波场变量
P2x=P1; P1x=P1; P0x=P1;
P2z=P1; P1z=P1; P0z=P1;
vp=3000*fones(Nx,Nz);             %模型
loc=gfloc(Nz,Nx,sz,sx);           %震源位置
fm=30; lag=40; wlet=gfricker(Nt,fm,dt, lag); %fm 子波频谱, lag 延迟, wlet 子波序列
cn=dt.*dt.*vp.*vp;
[qz,qx]=gfpm1(Nz,Nx,20,0.1);      %重新构造边界条件
%Q=qx+qz;
%pl=1./(1+Q*dt/2);
%pm=(1-Q*dt/2);
plx=1./(1+qx*dt/2);               %X 方向边界
pmx=1-qx*dt/2;
plz=1./(1+qz*dt/2);              %Z 方向边界
pmz=1-qz*dt/2;
for it=1:Nt
    %P2=pl.*(2*P1-pm.*P0+cn.*(gfLx2(P1,dx)+gfLz2(P1,dz)))+loc*wlet(it);
    %P0=P1;                       %迭代
    %P1=P2;                       %迭代
    P2x=plx.*(2*P1x-pmx.*P0x+cn.*gfLx2(P1,dx)); %X 方向迭代
    P0x=P1x;
    P1x=P2x;
    P2z=plz.*(2*P1z-pmz.*P0z+cn.*gfLz2(P1,dz)); %Z 方向迭代
    P0z=P1z;
    P1z=P2z;
    P1=P1x+P1z+loc*wlet(it);      %和并变量
end
gfplot(p1);                       %数据显示
```

图 1-3 (b) 是分裂形式的边界条件的结果, 边界吸收效果比较好。分裂形式的反射能量大约是非分裂形式的 1/10 左右。对比图 1-4(b) 的数值, 反射能量最大大约是入射波的 5/1000。效果是可以满足大部分需求的。比较遗憾的一点是, 经过分裂之后波形发生了一定的变化。

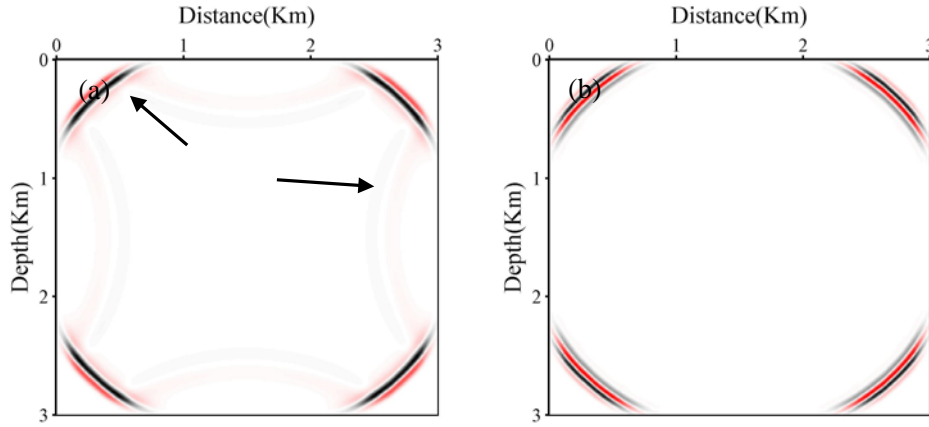


图 1-3 吸收边界效果: (a)非分裂; (b)分裂形式

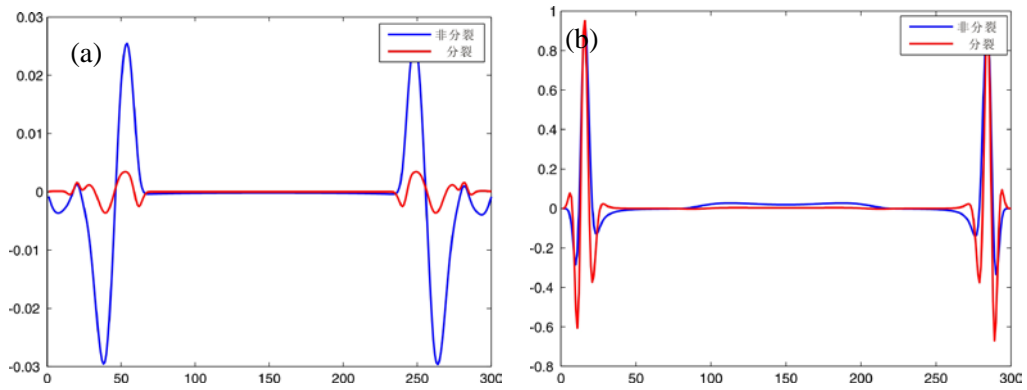


图 1-4 (a)第 150 道数据对比, (b)第 50 道数据对比

1.2 伪谱法

伪谱法的基本原理是利用 Fourier 变换的微分性质:

$$F\left[\frac{\partial u}{\partial x}\right] = -ik_x F[u] \quad (11)$$

那么有

$$\frac{\partial u}{\partial x} = F^{-1}[-ik_x F[u]] \quad (12)$$

伪谱法实现中的关键是构建波数域算子 k , SMART 中计算波数算子的函数是 `gfkz`, `fft` 的必要知识请查阅相关书籍。下面是声波方程伪谱法的 MATLAB 实现。图 1-5 是波数域算子, 图 1-6 是伪谱法模拟结果。

程序 1.5: MAc2PSCPU

```
% *****%
% Name      : An example of 2-order acoustic wave equation PS modeling.
% Author    : C.F. Guo
% Date      : 2017-1-19
```



```

% Version      : 1.0
% ****
.....                                %其他省略
[kz,kx]=gfkzqx(Nz,Nx,dz,dx);          %波数域算子
KZ2=kz.*kz;
KX2=kx.*kx;
for it=1:Nt
    temp=fft2(P1);
    P2x=plx.*(2*P1x-pmx.*P0x-cn.*ifft2(temp.*KX2)); %微分计算，注意微分前面是
    P2z=plz.*(2*P1z-pmz.*P0z-cn.*ifft2(temp.*KZ2)); %负号，i*i=-1
    P0x=P1x;
    P1x=P2x;
    P0z=P1z;
    P1z=P2z;
    P1=P1x+P1z+loc*wlet(it);
end
gfplot(p1);                            %数据显示

```

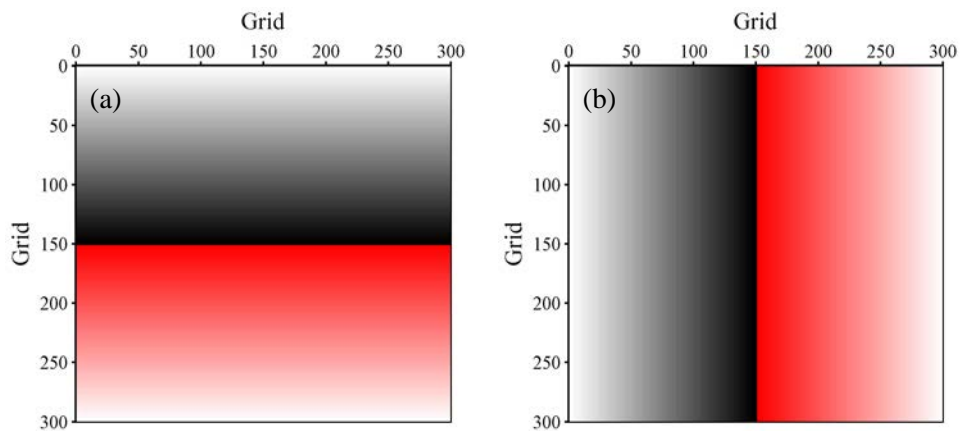


图 1-5 波数域算子：(a) k_x 和 (b) k_z

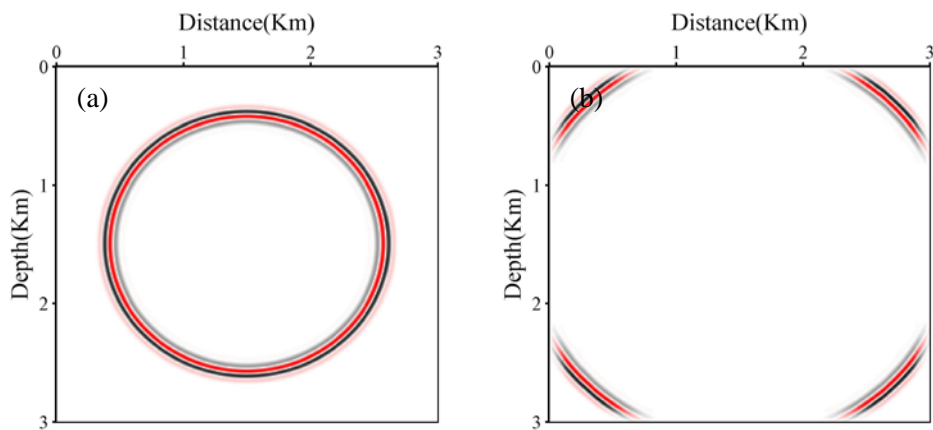


图 1-6 伪谱法模拟结果：(a) 400ms 时刻波场快照, (b) 600ms 时刻波场快照,

2. 一阶方程